



Applicants: Bruce G. MacGregor et al
Serial No.: 10/076,709
Atty. Dkt. No.: STE01 P-1113
Sheet 1 of 30
REPLACEMENT SHEET

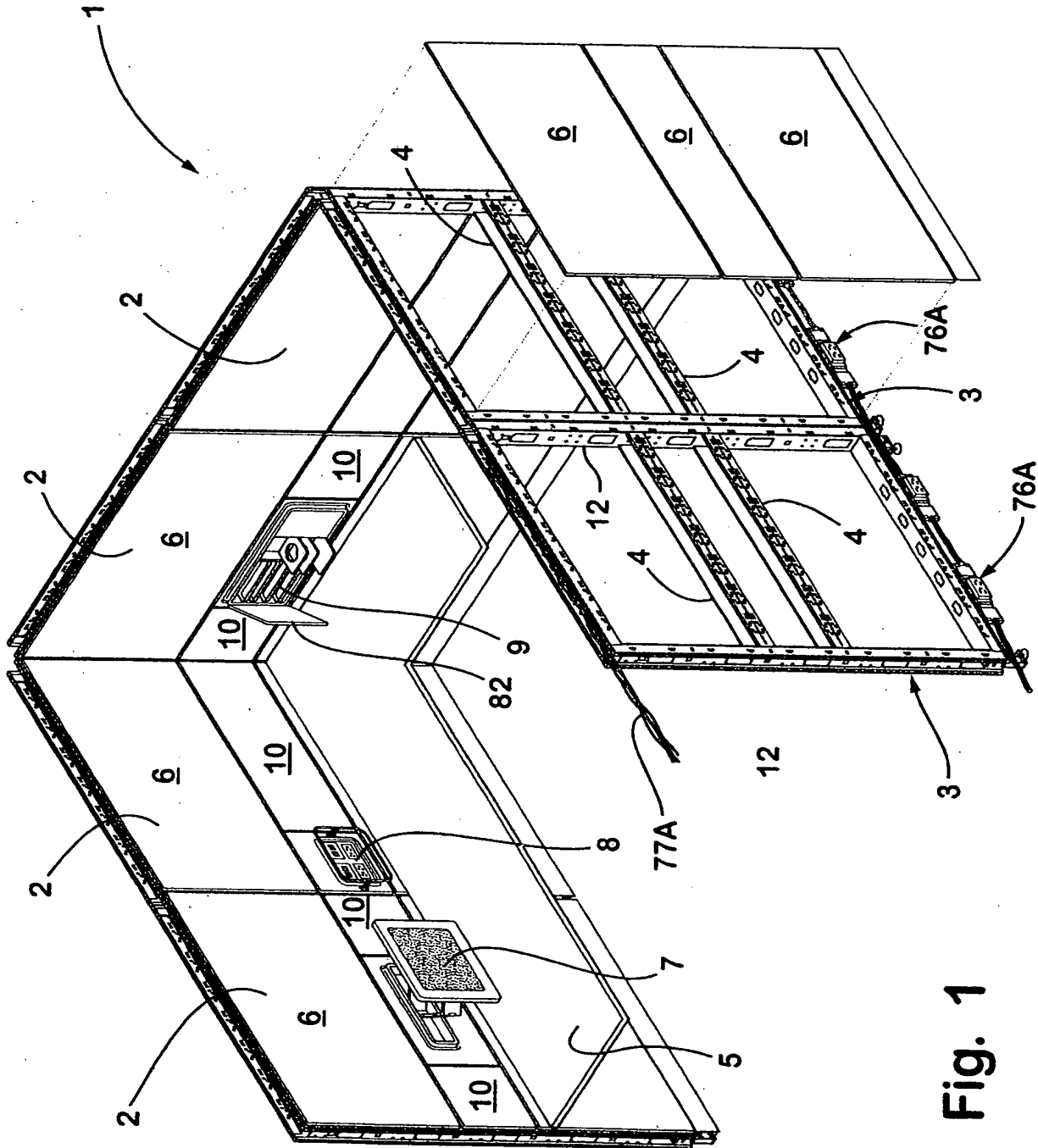


Fig. 1

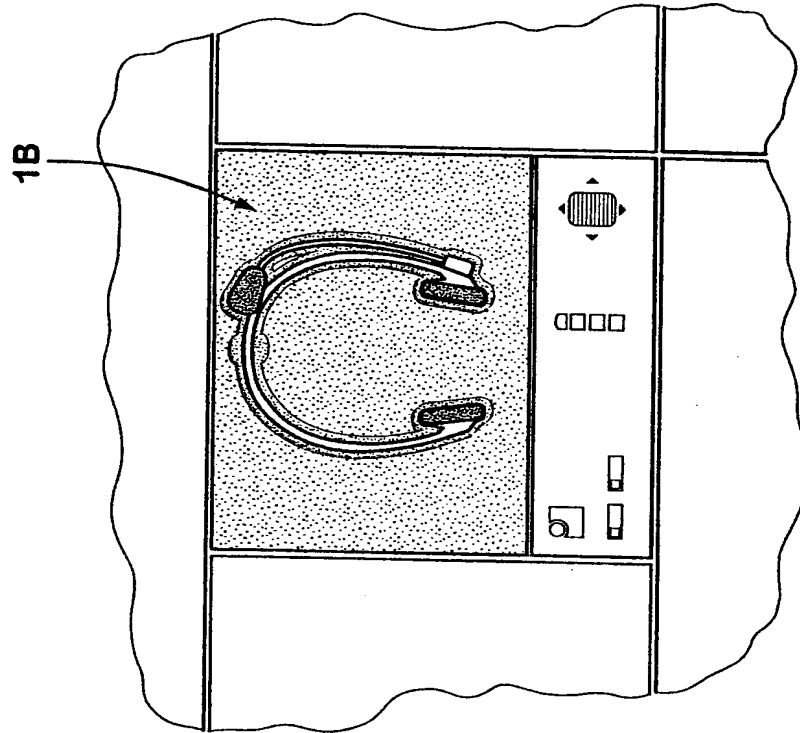


Fig. 1B

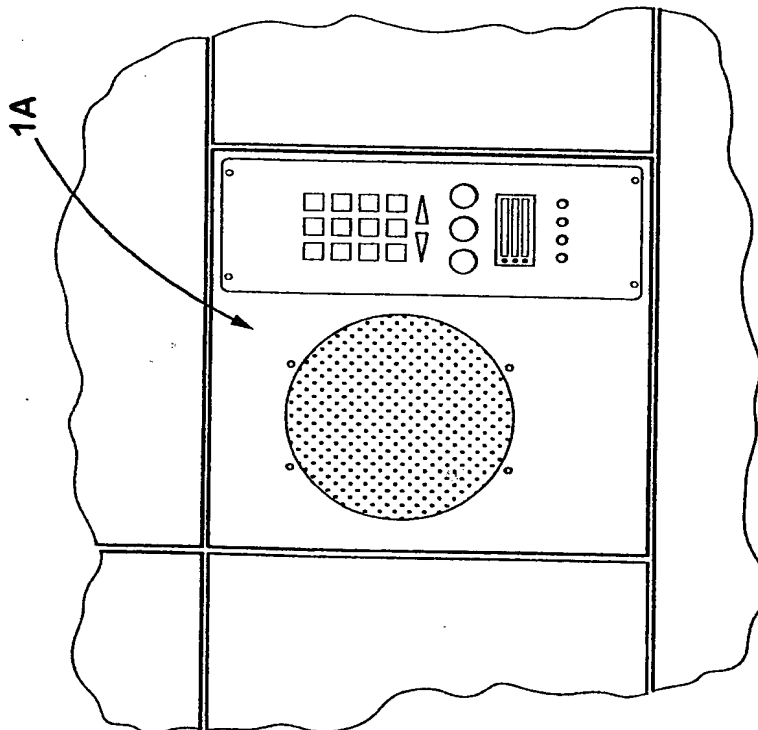


Fig. 1A

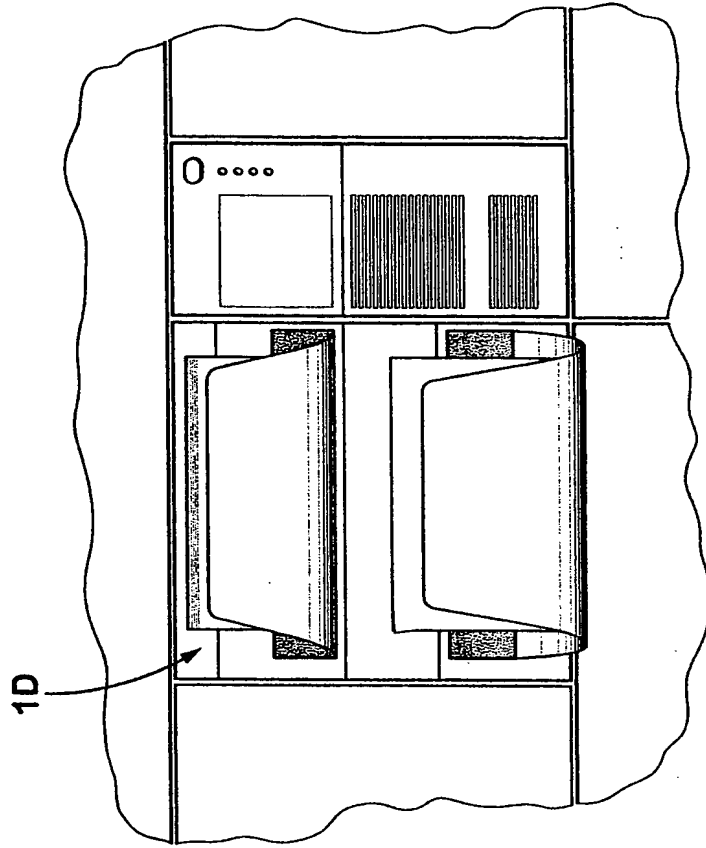


Fig. 1D

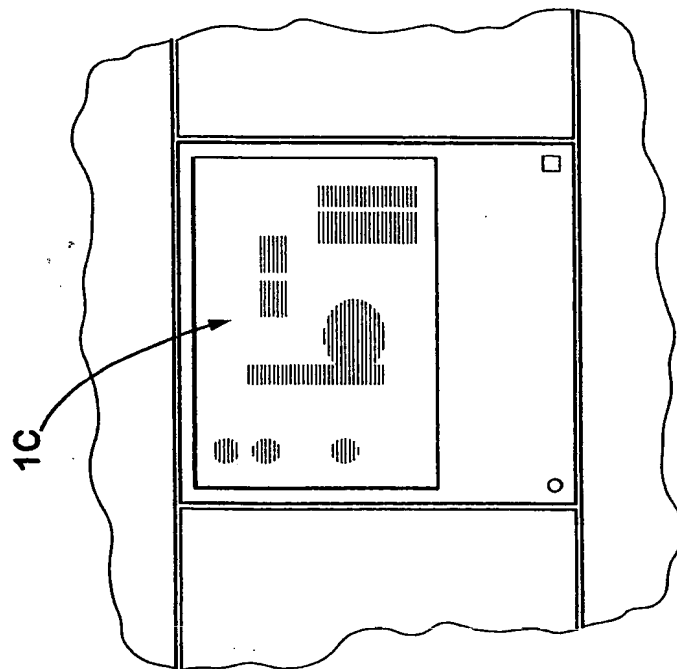


Fig. 1C

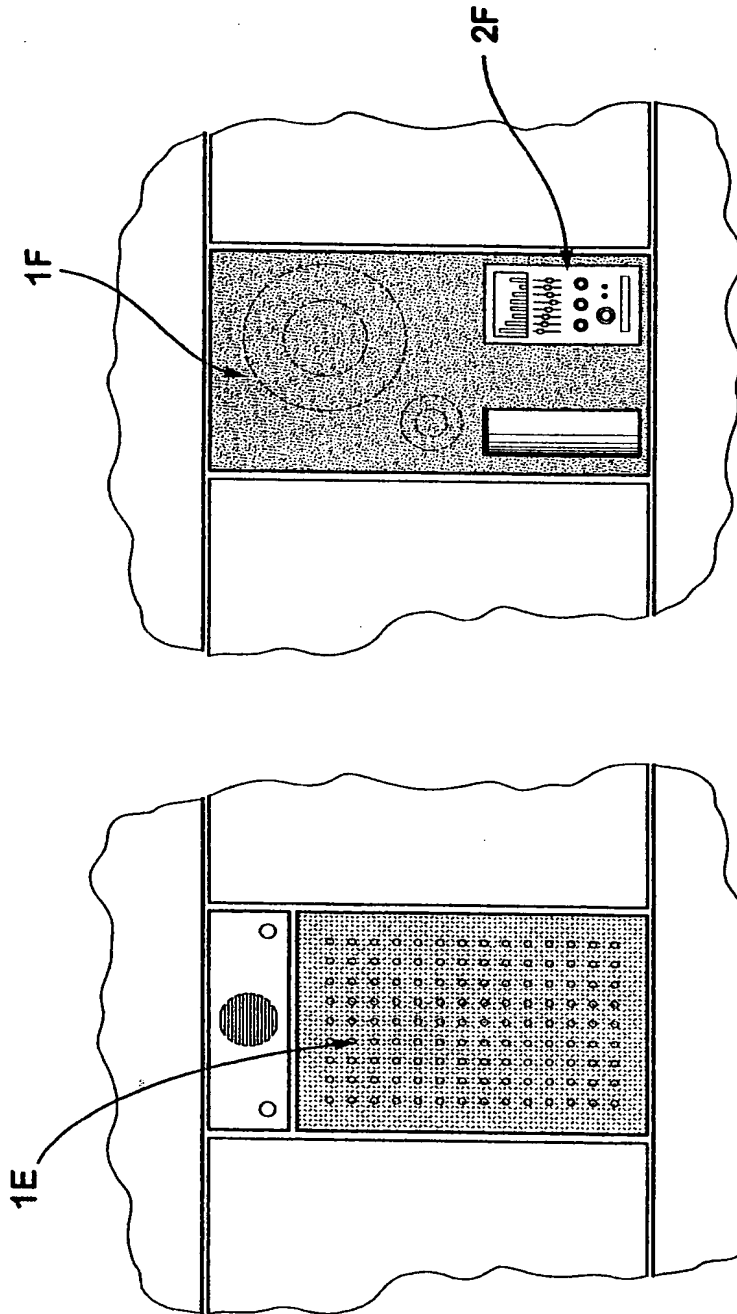


Fig. 1F

Fig. 1E

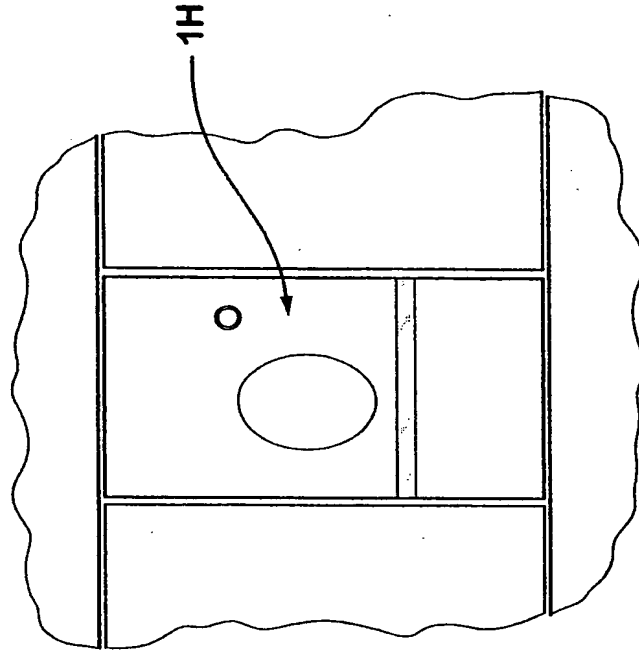


Fig. 1H

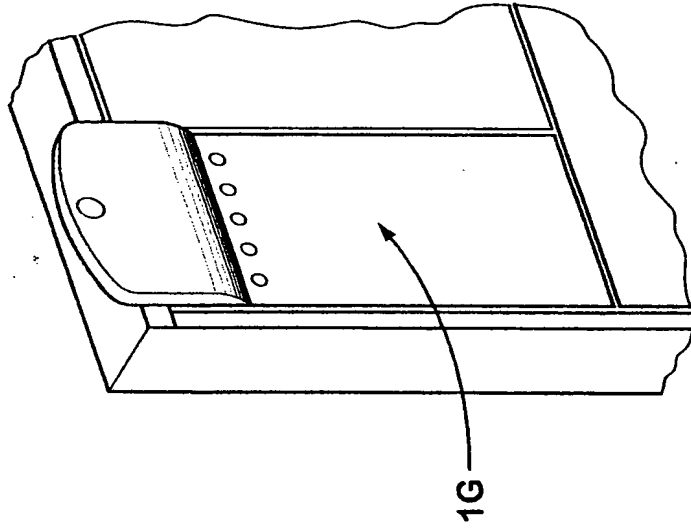


Fig. 1G

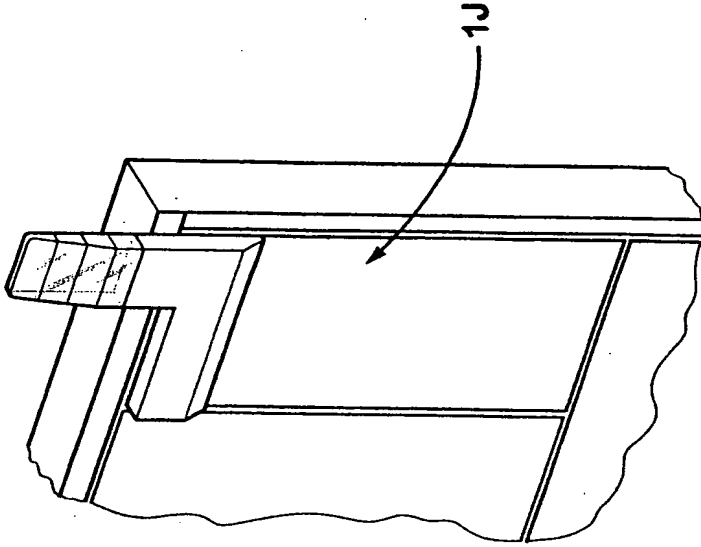


Fig. 1J

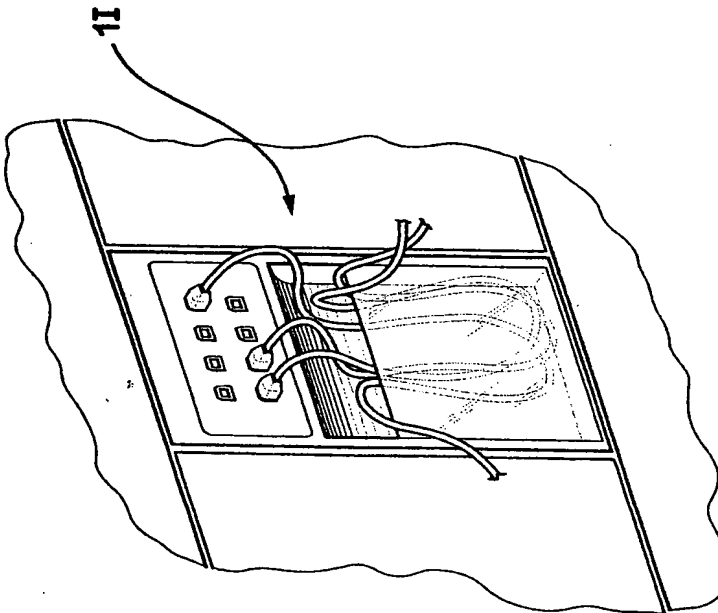


Fig. 1I

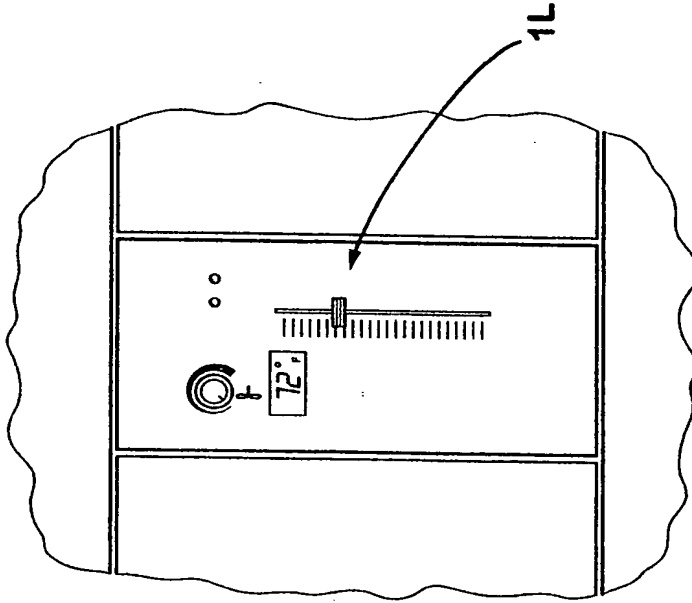


Fig. 1L

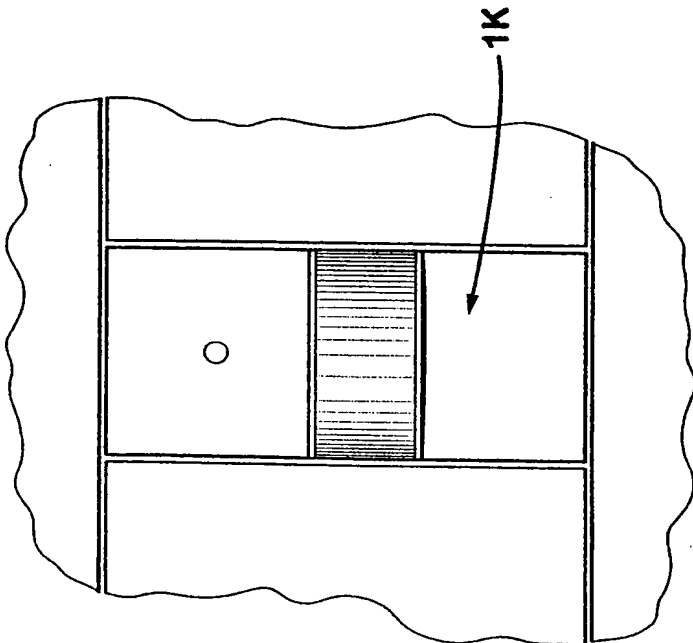


Fig. 1K

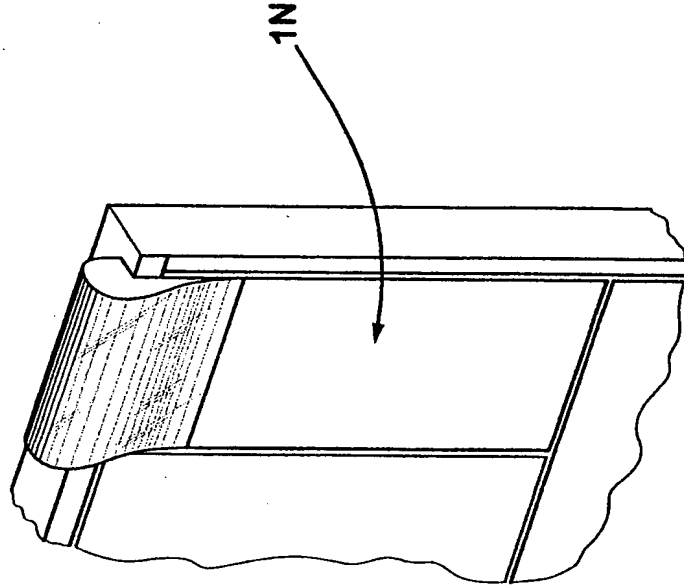


Fig. 1N

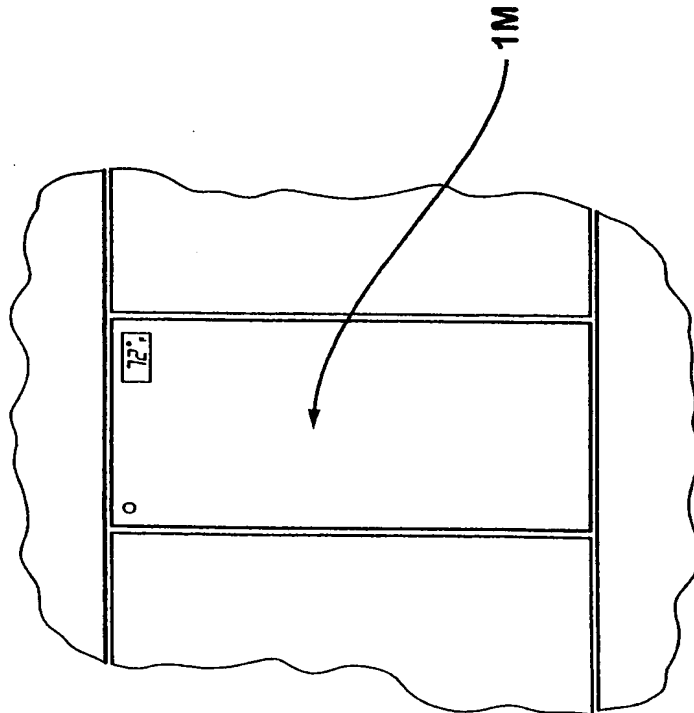


Fig. 1M

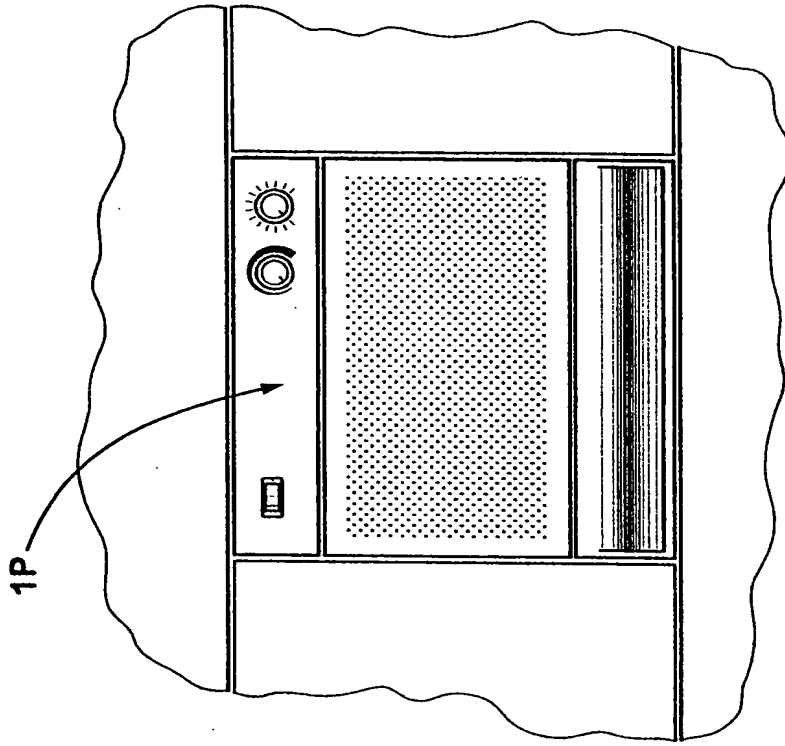


Fig. 1P

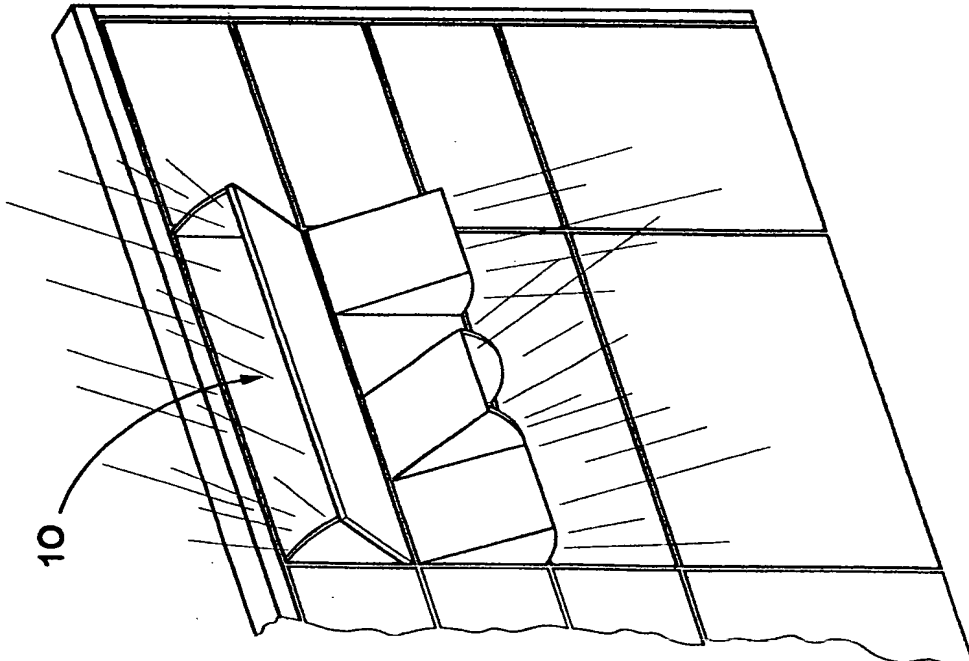


Fig. 10

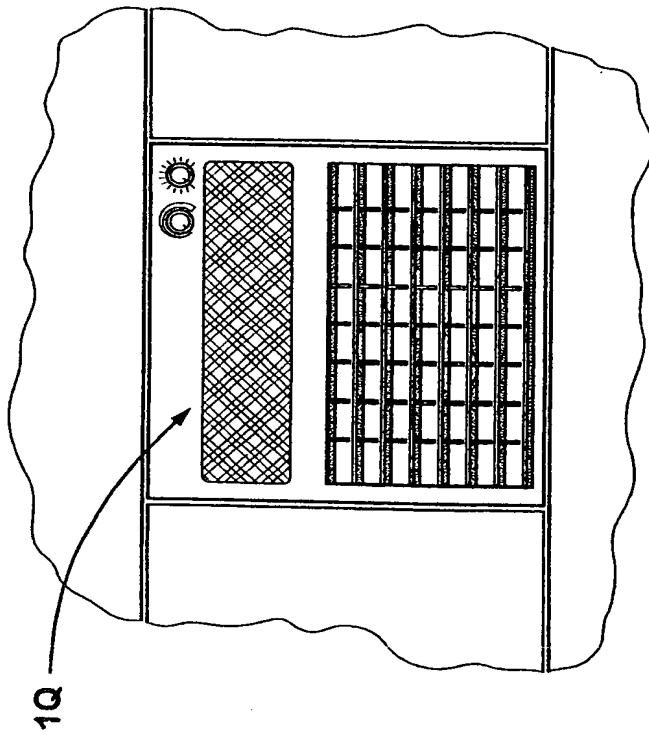


Fig. 1Q

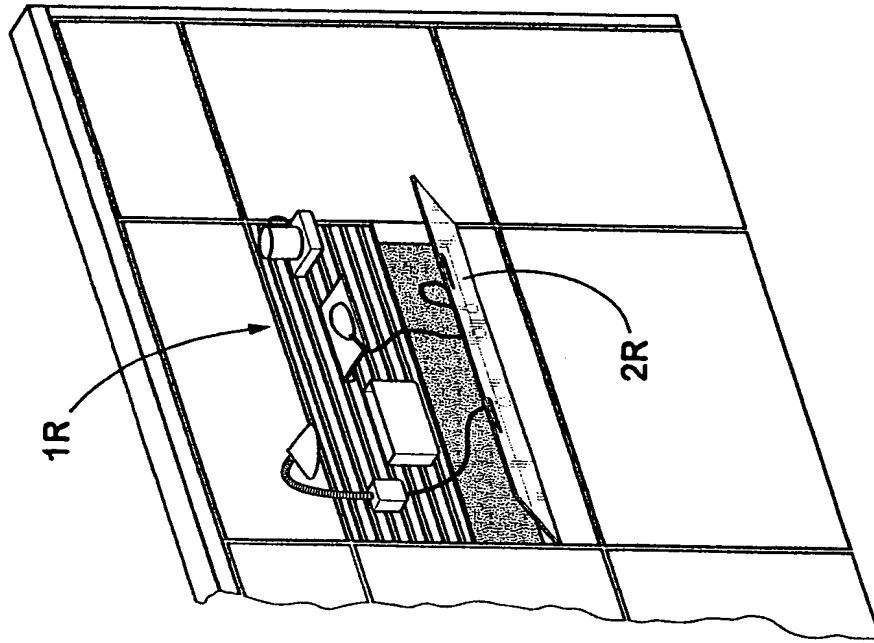


Fig. 1R

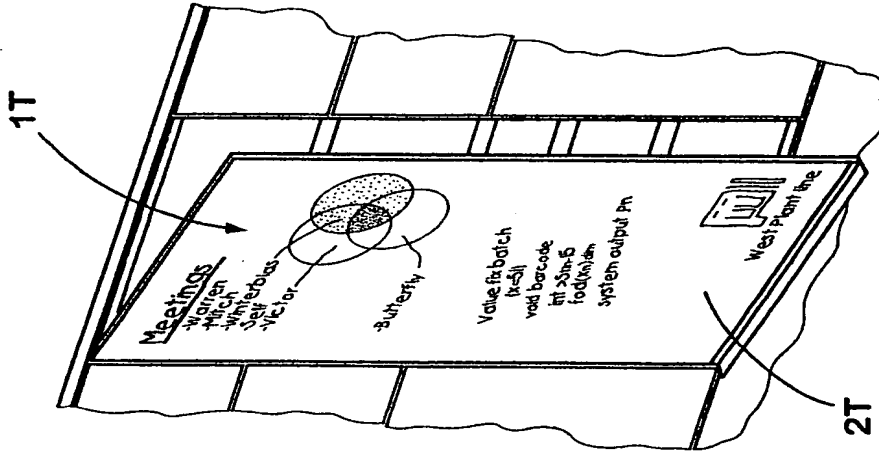


Fig. 1T

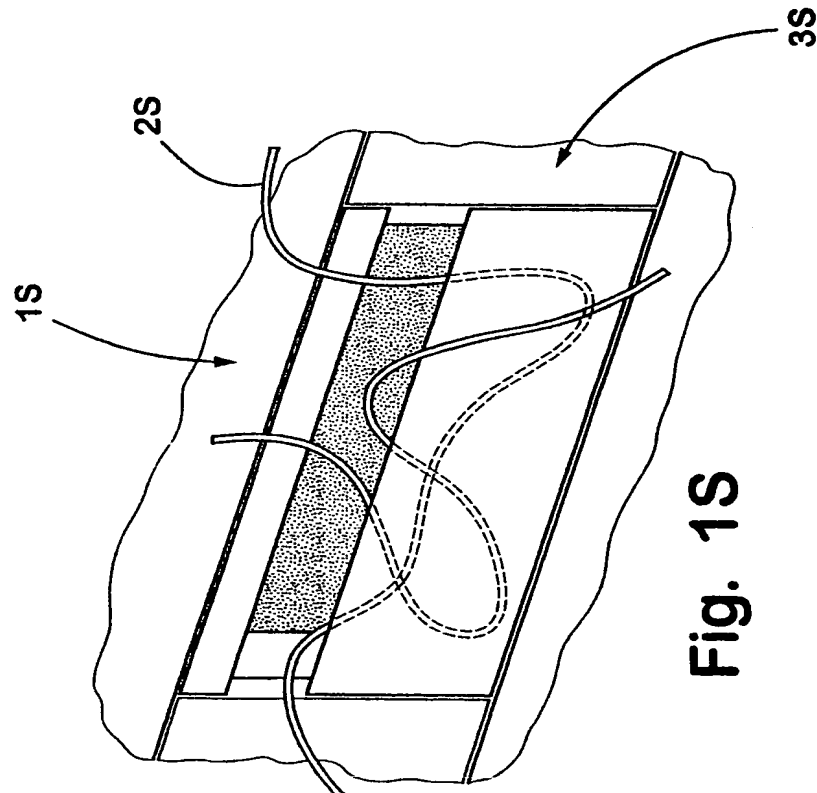


Fig. 1S

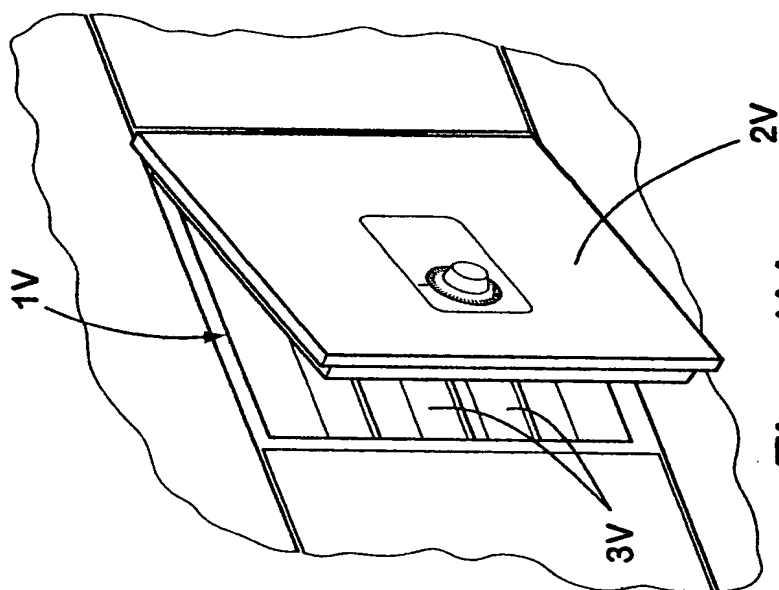


Fig. 1V

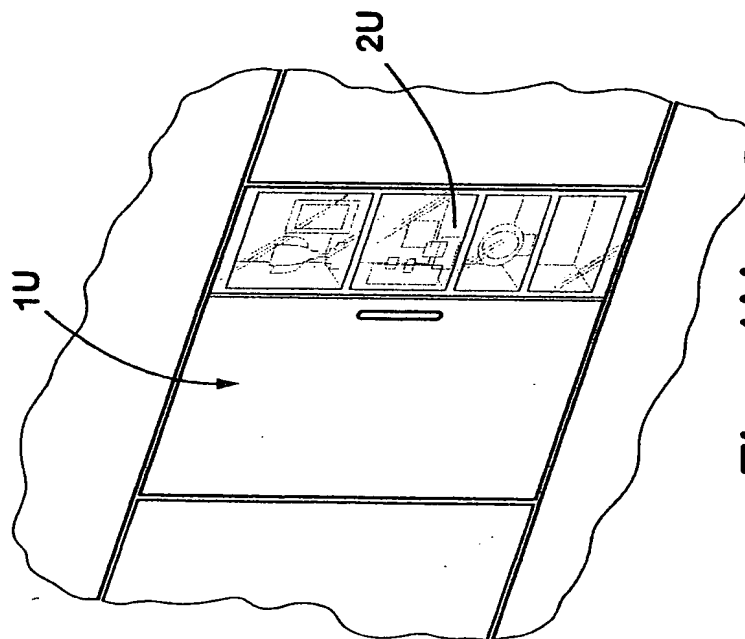
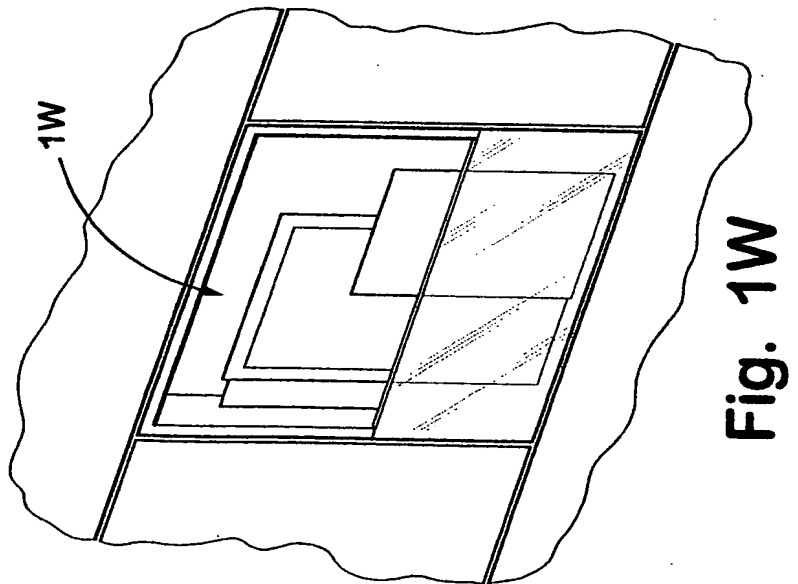
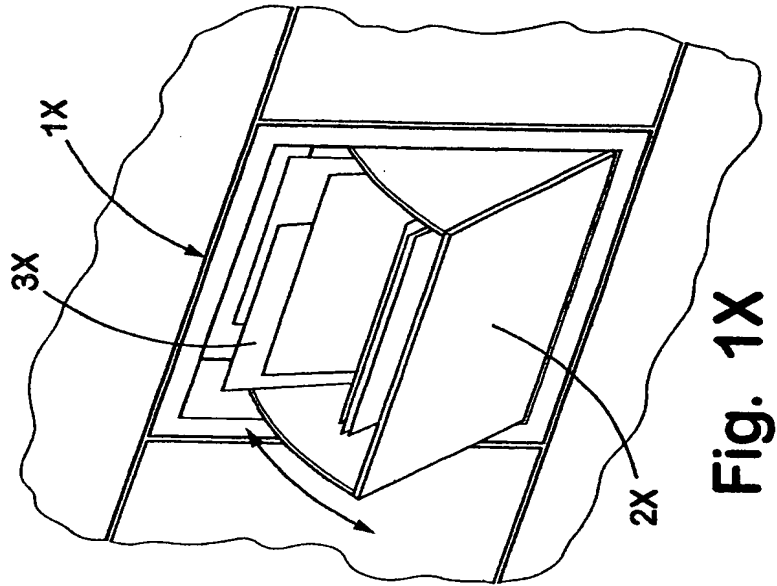


Fig. 1U



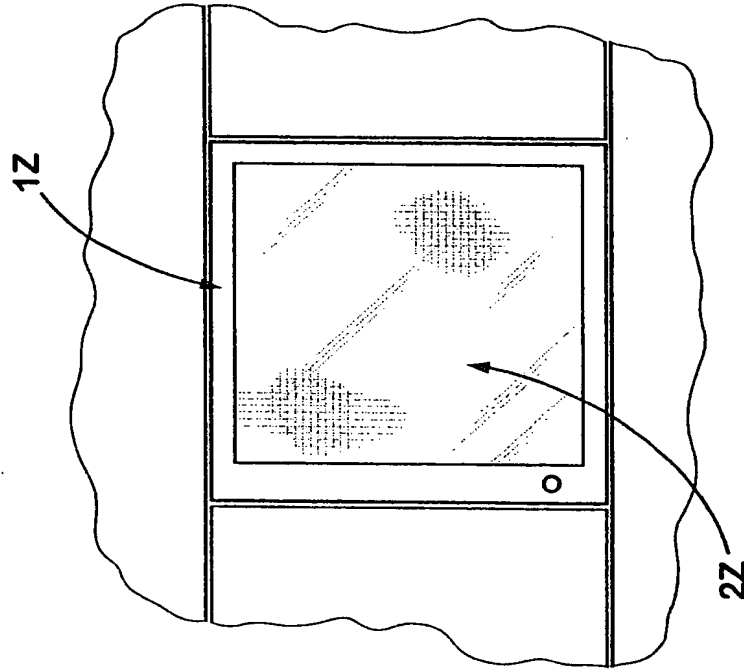


Fig. 1Z

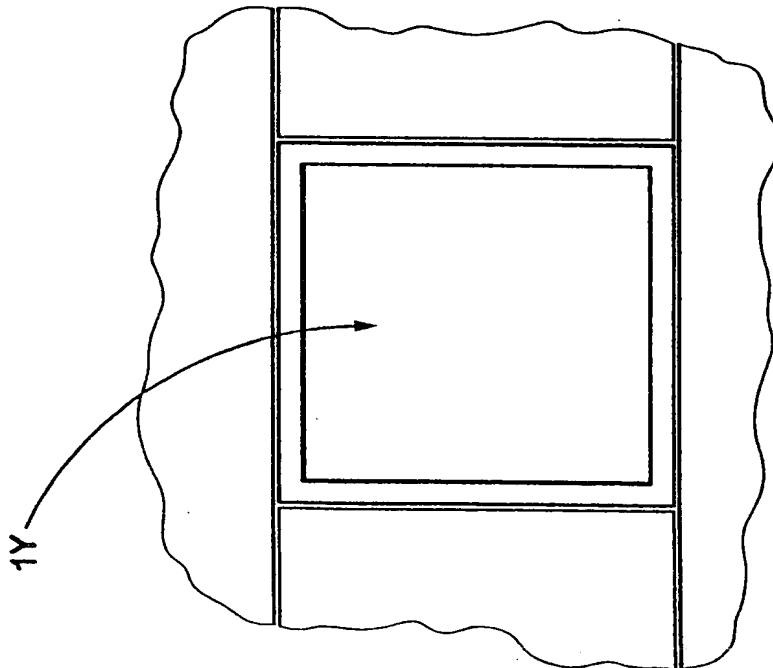


Fig. 1Y

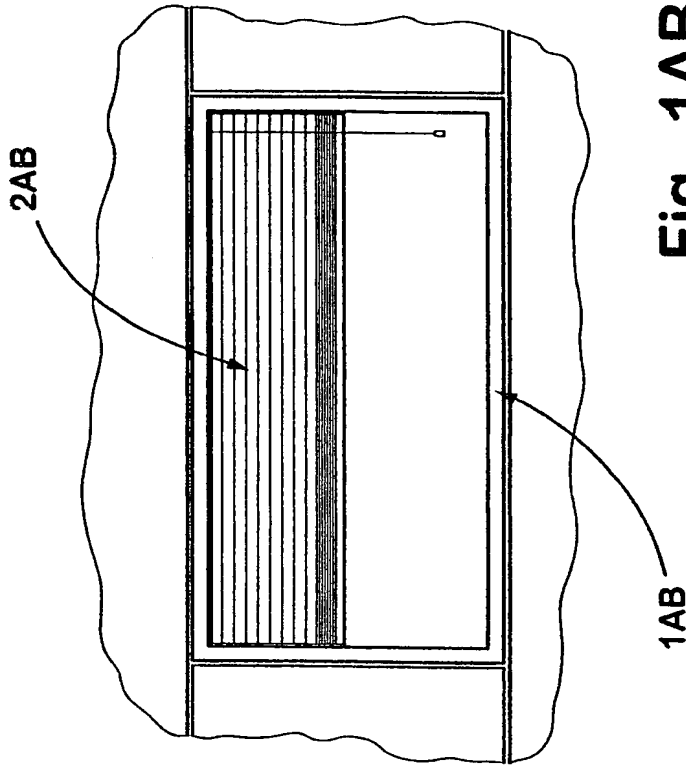


Fig. 1AB

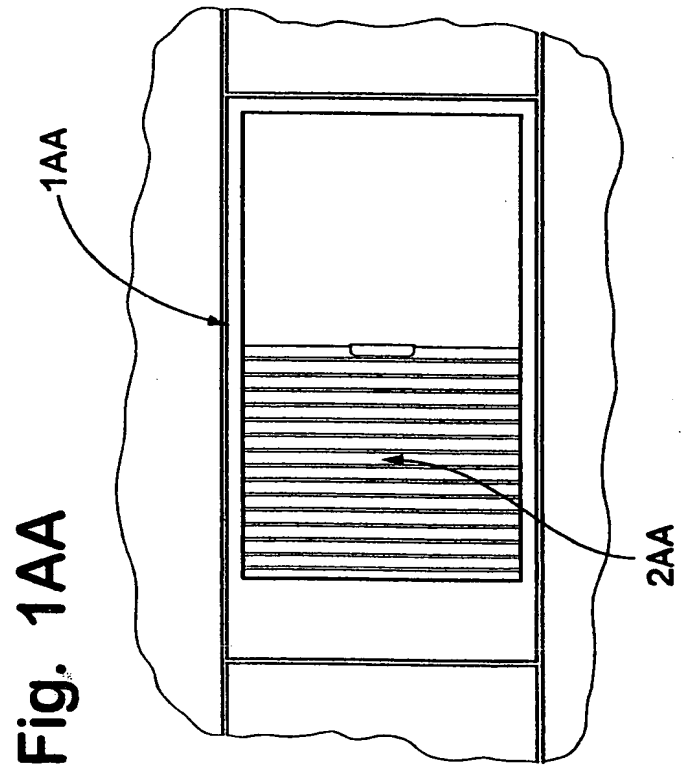


Fig. 1AA

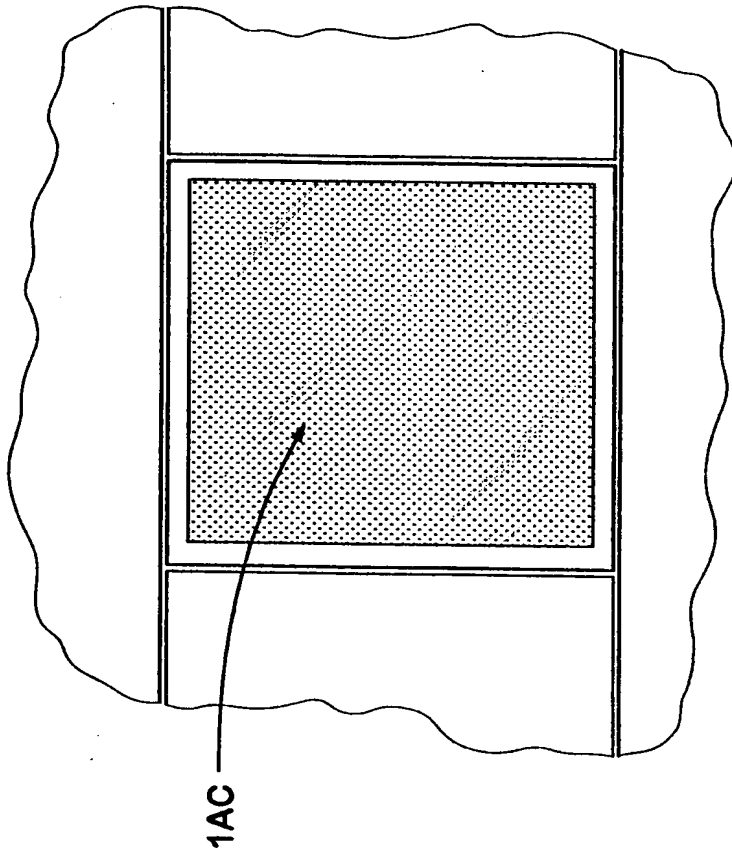


Fig. 1AC

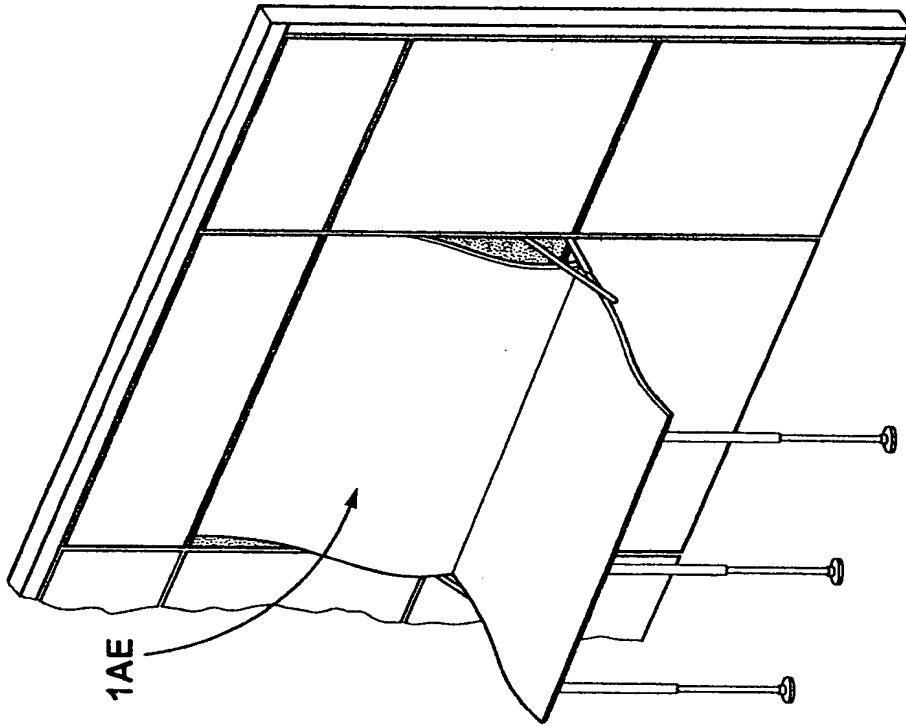


Fig. 1AE

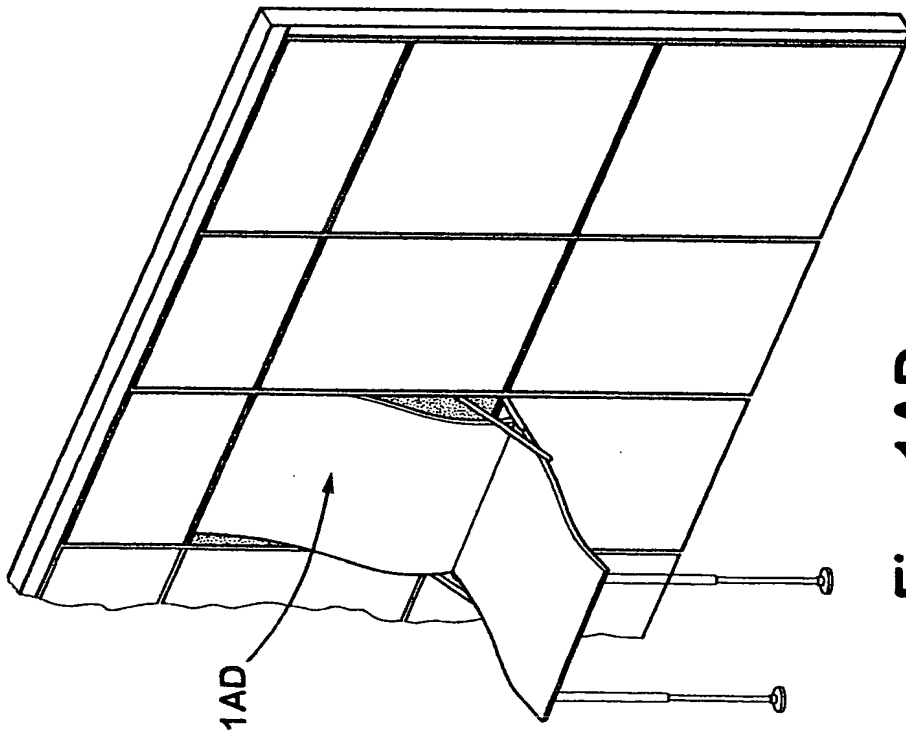


Fig. 1AD

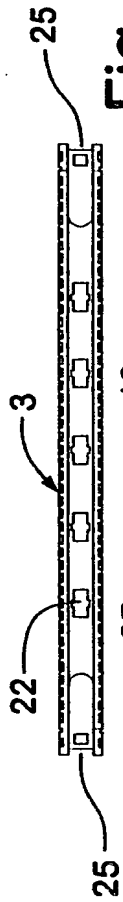


Fig. 3

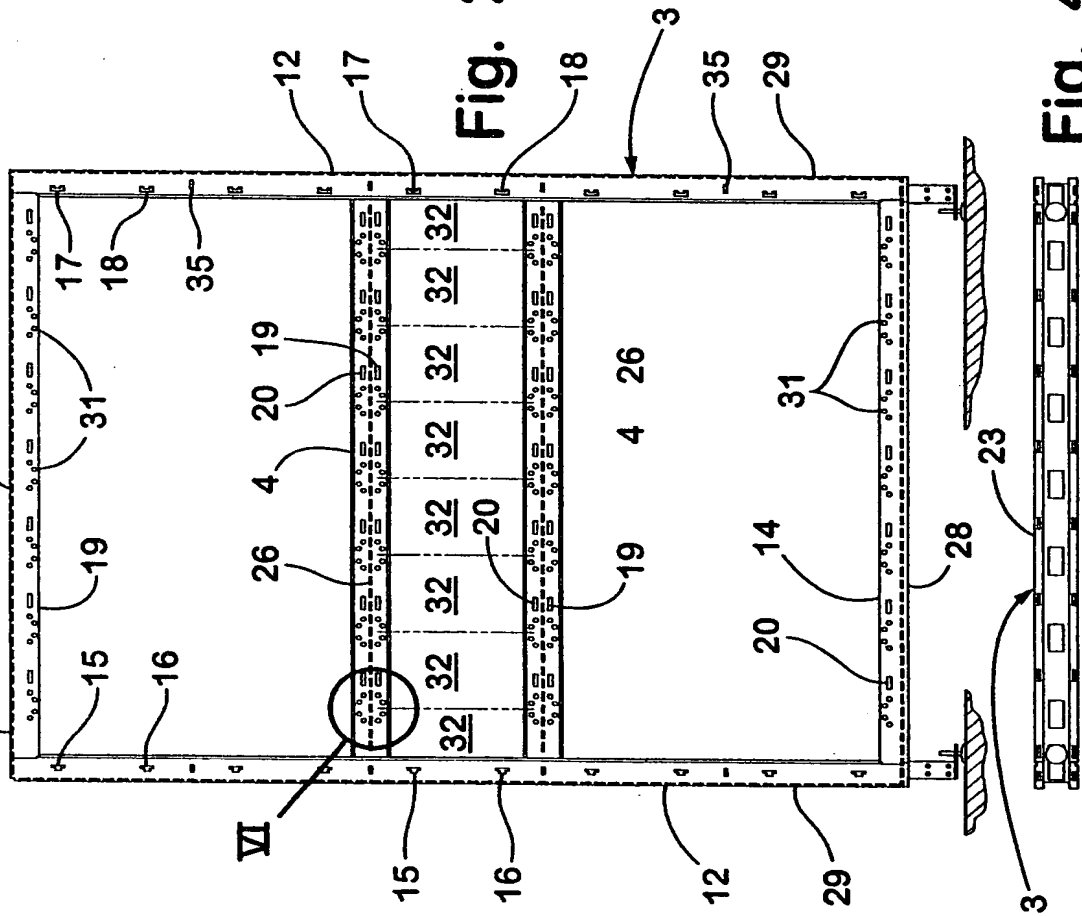


Fig. 2

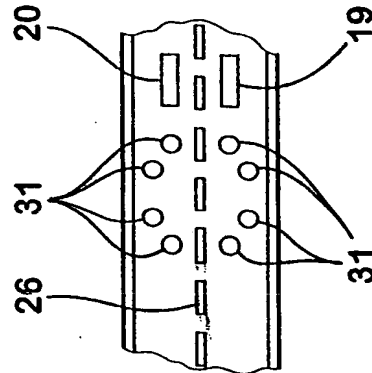


Fig. 6

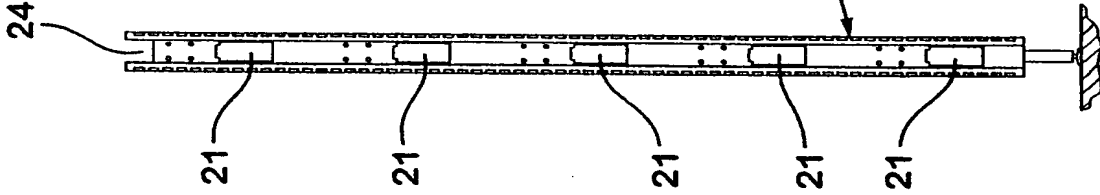


Fig. 5

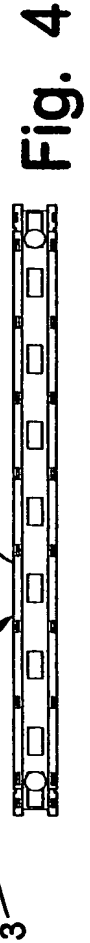


Fig. 4



Fig. 7

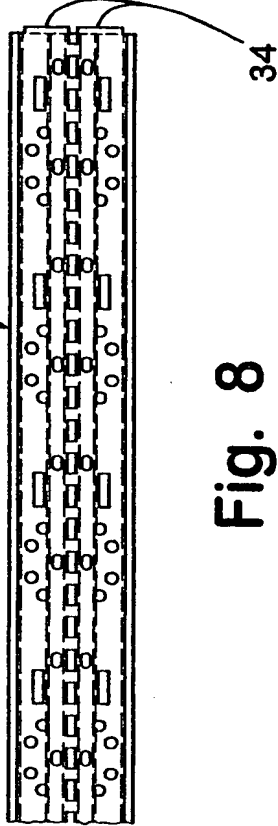


Fig. 8

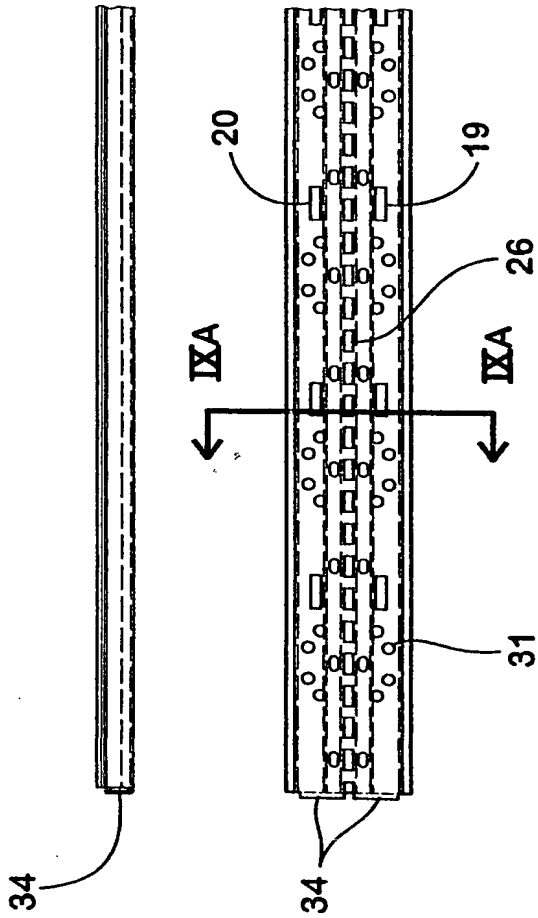


Fig. 9A

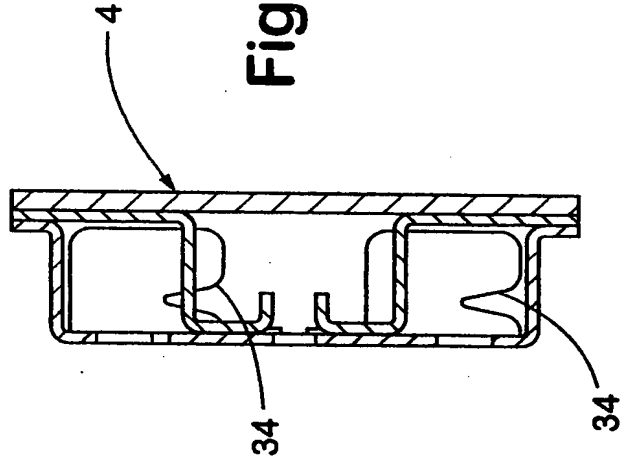
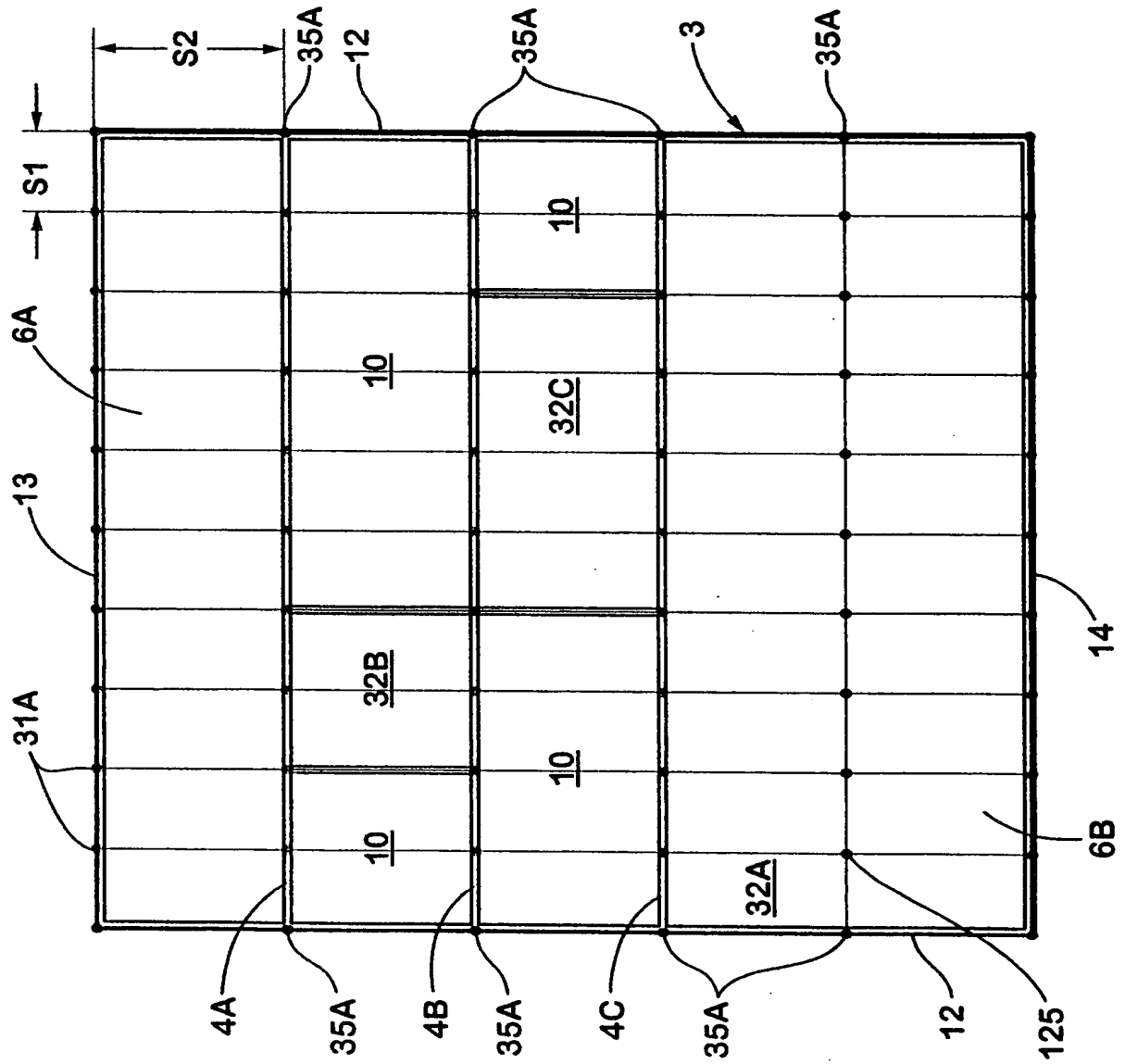


Fig. 9B



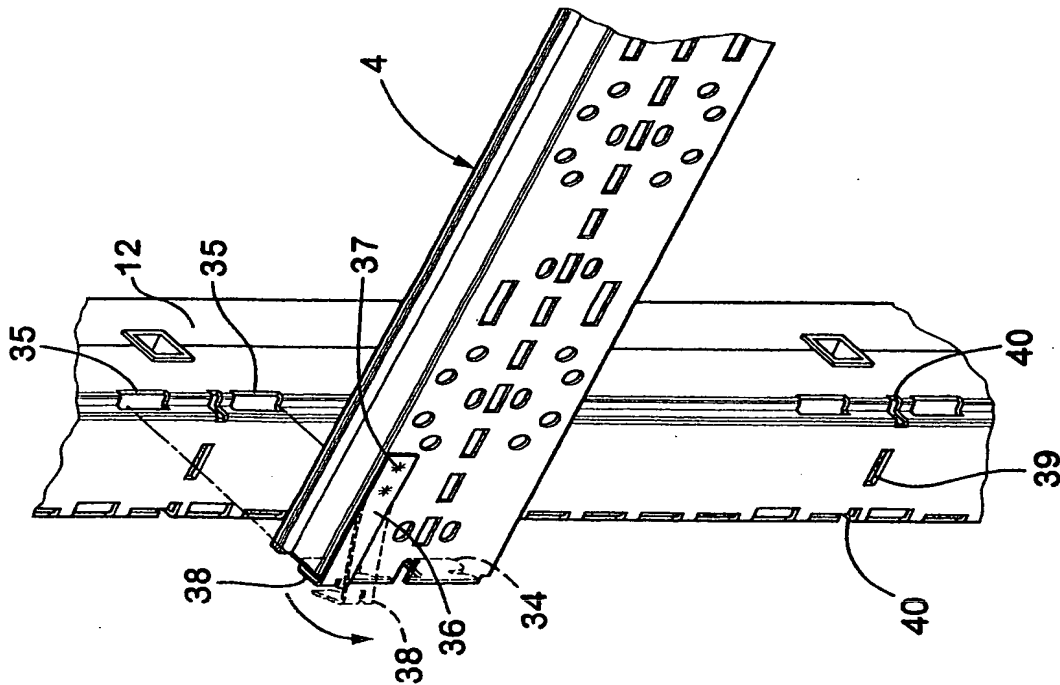


Fig. 10

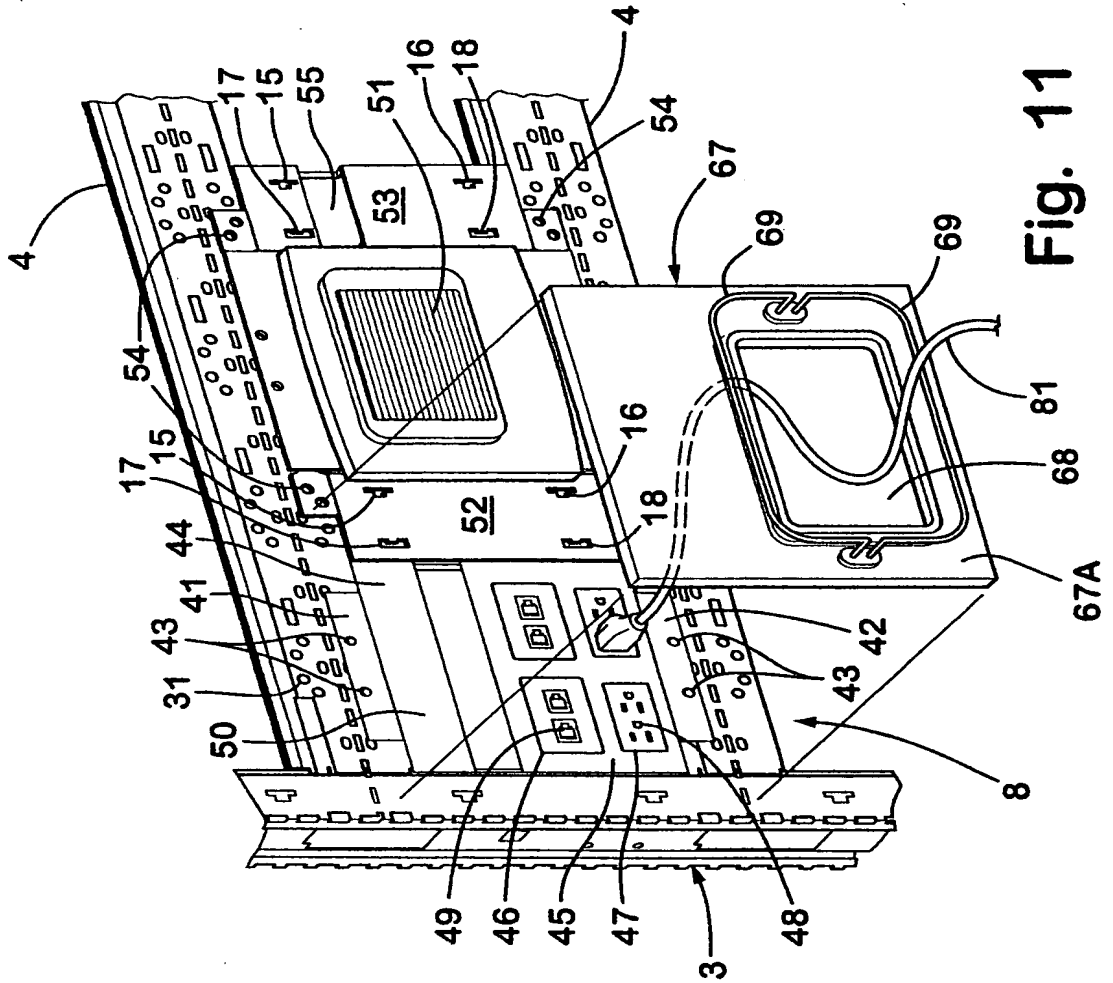


Fig. 11

Fig. 12

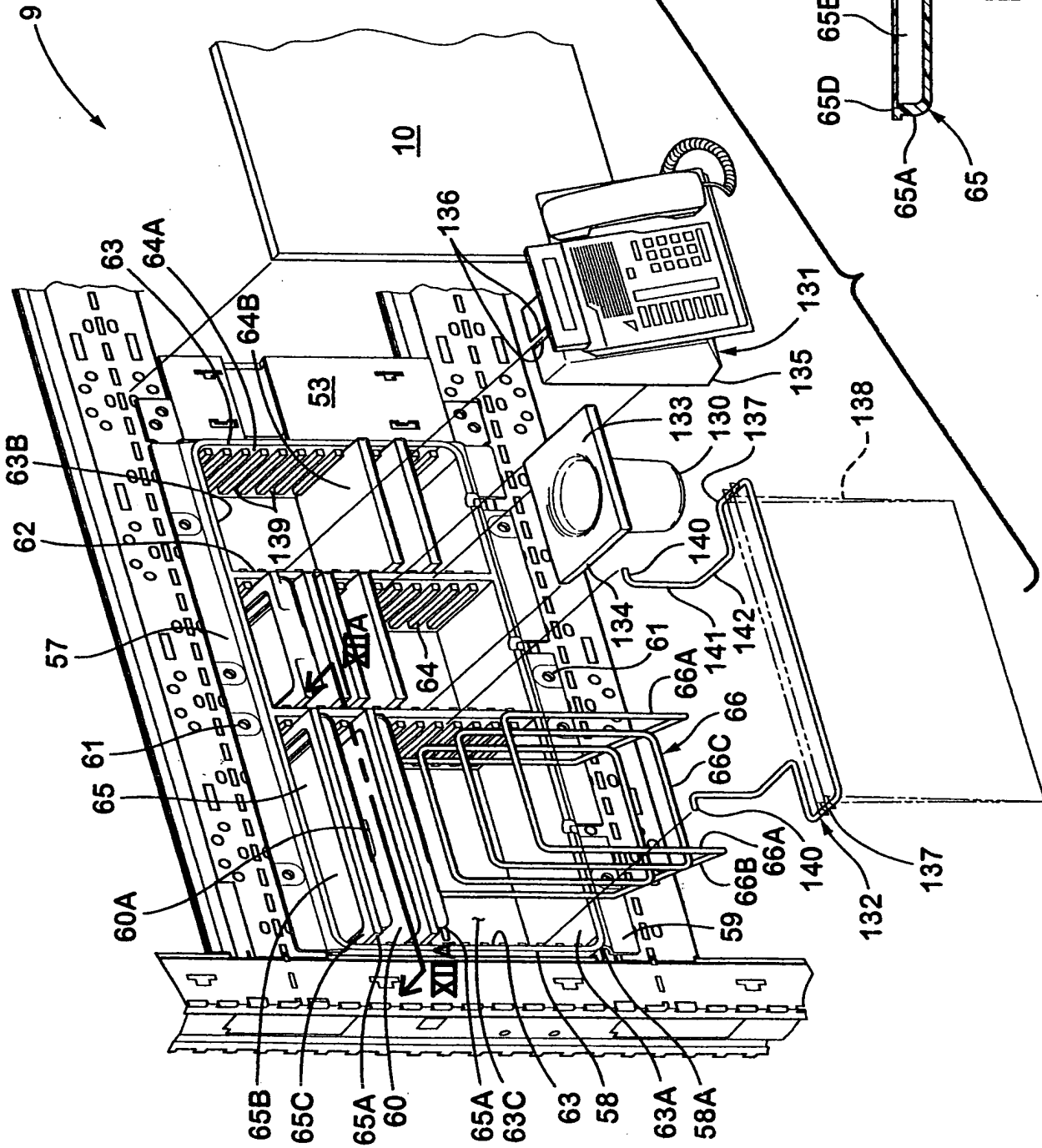
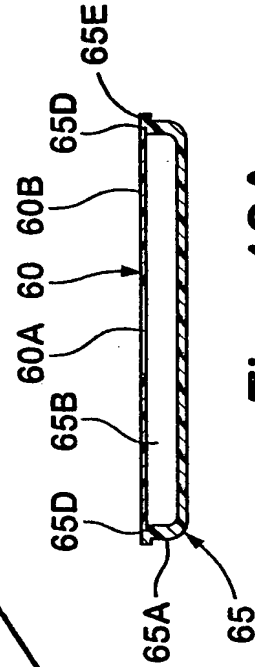
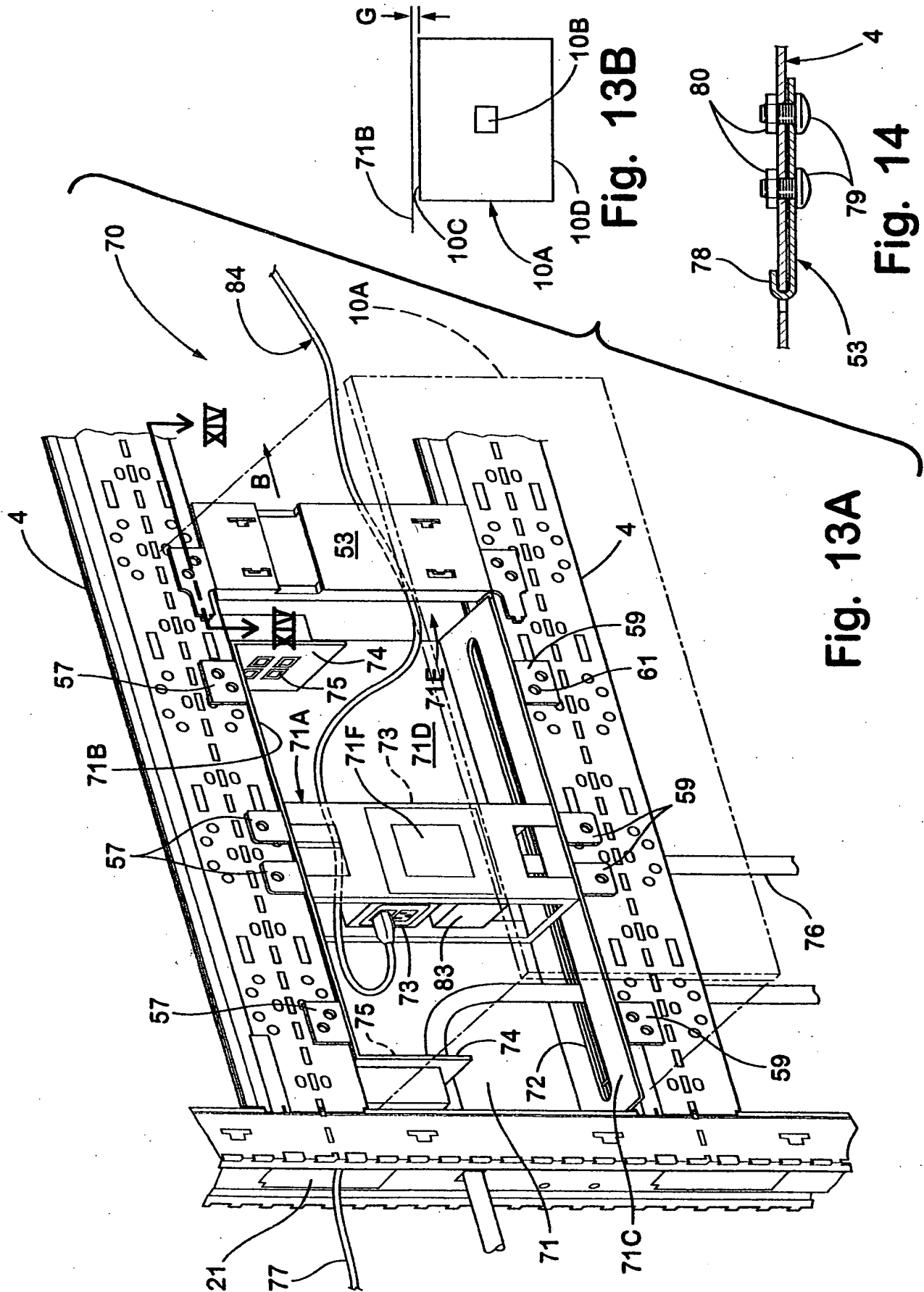


Fig. 12A





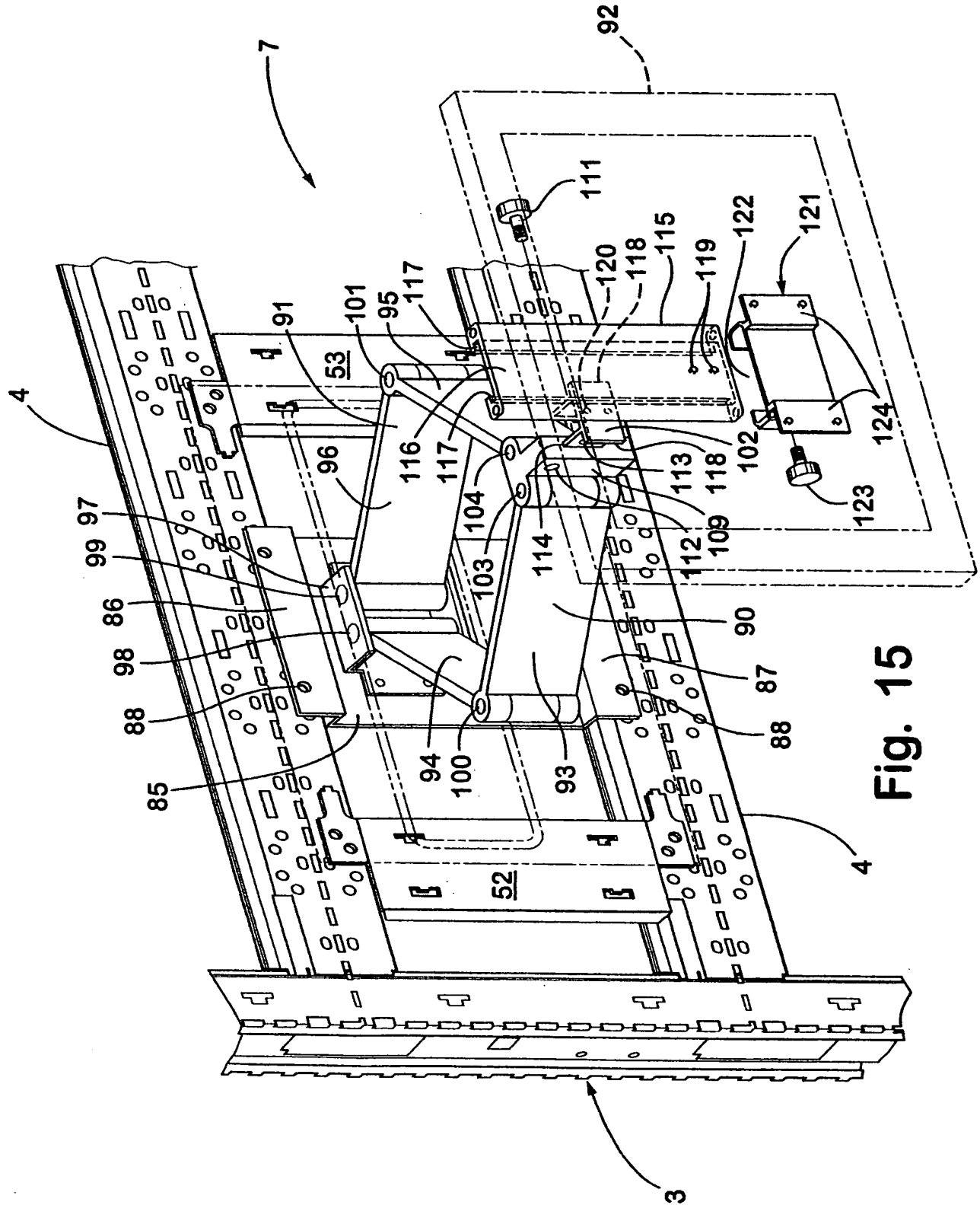


Fig. 15

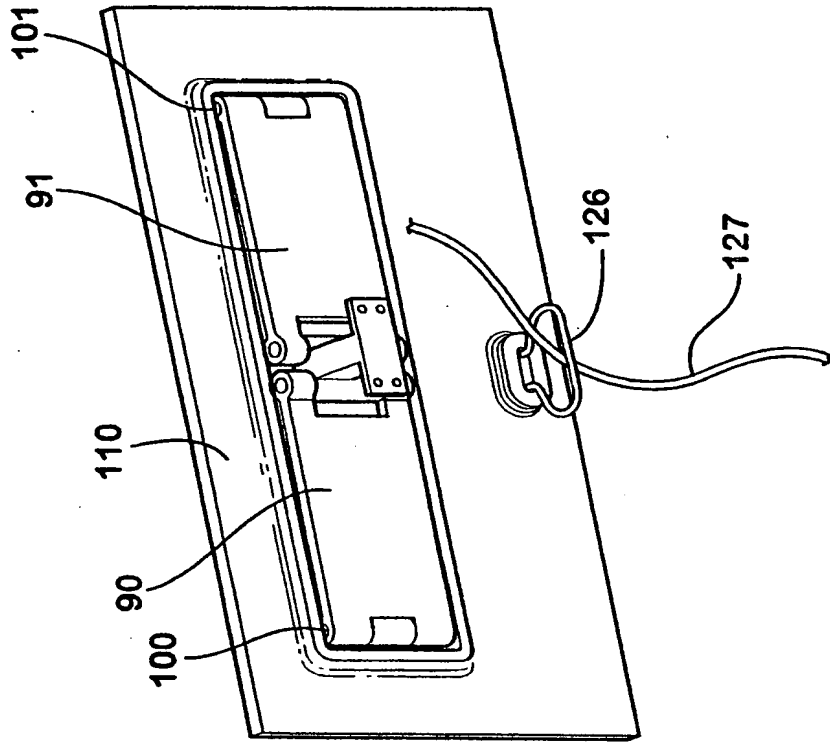


Fig. 16

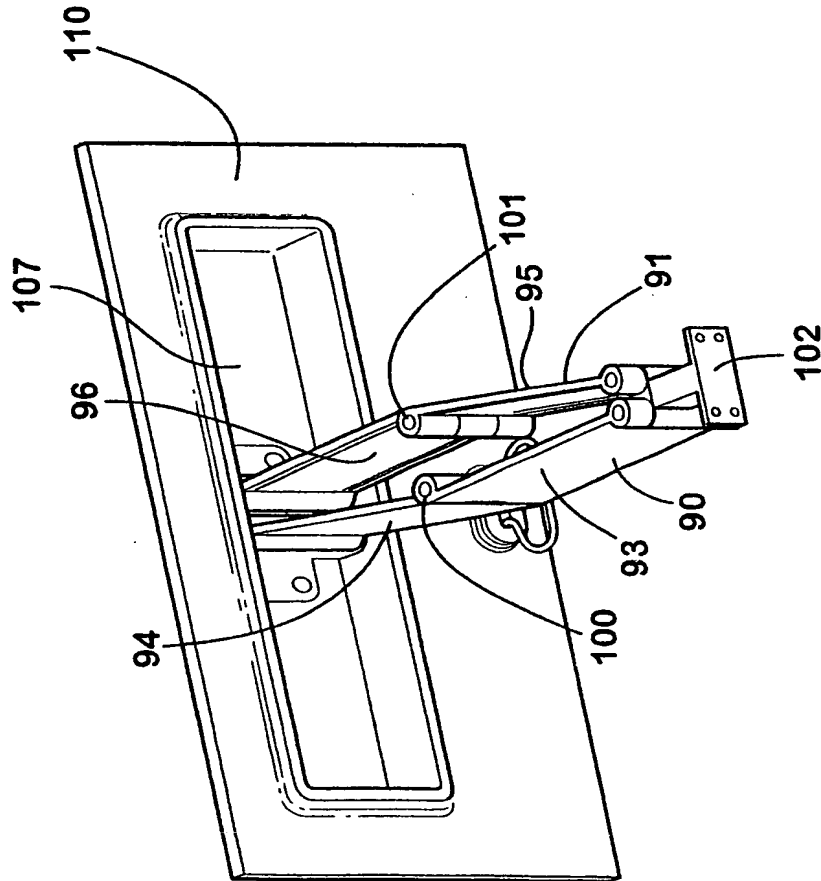


Fig. 17

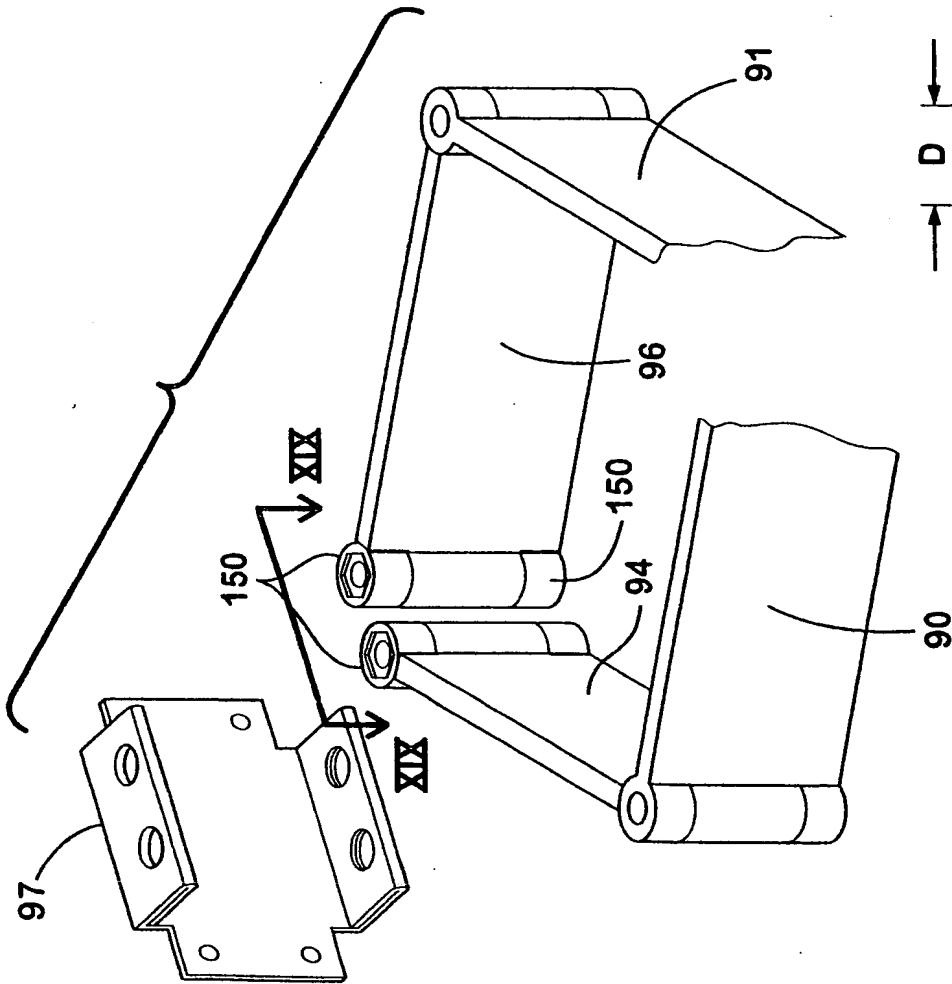


Fig. 18

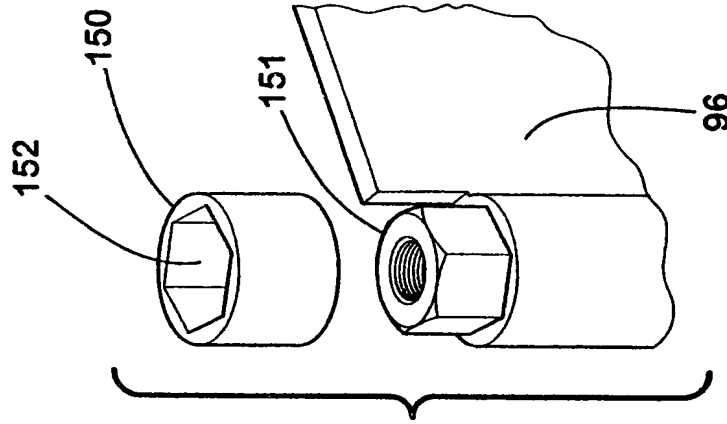


Fig. 20

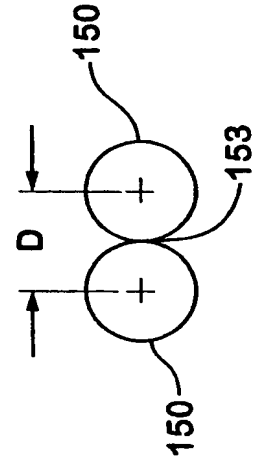
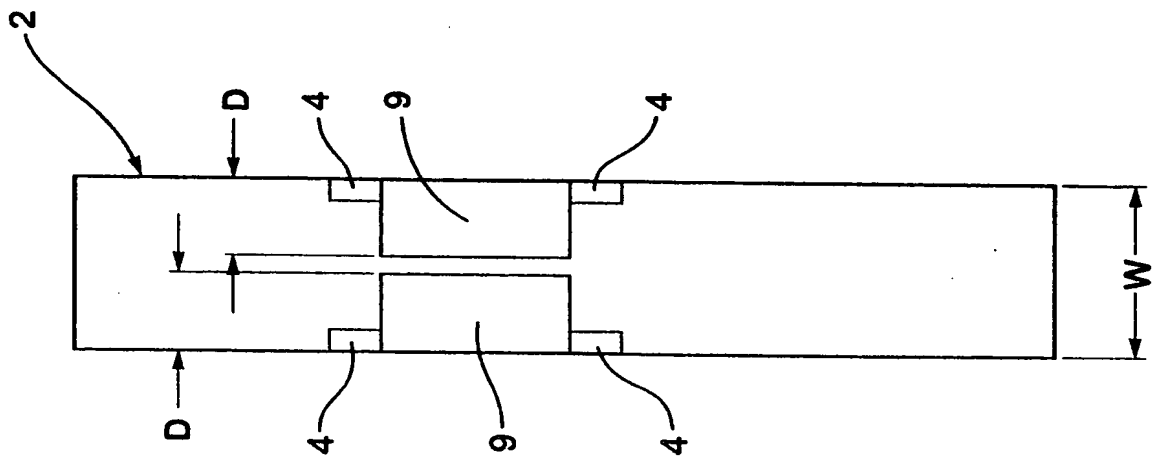


Fig. 19

Fig. 21



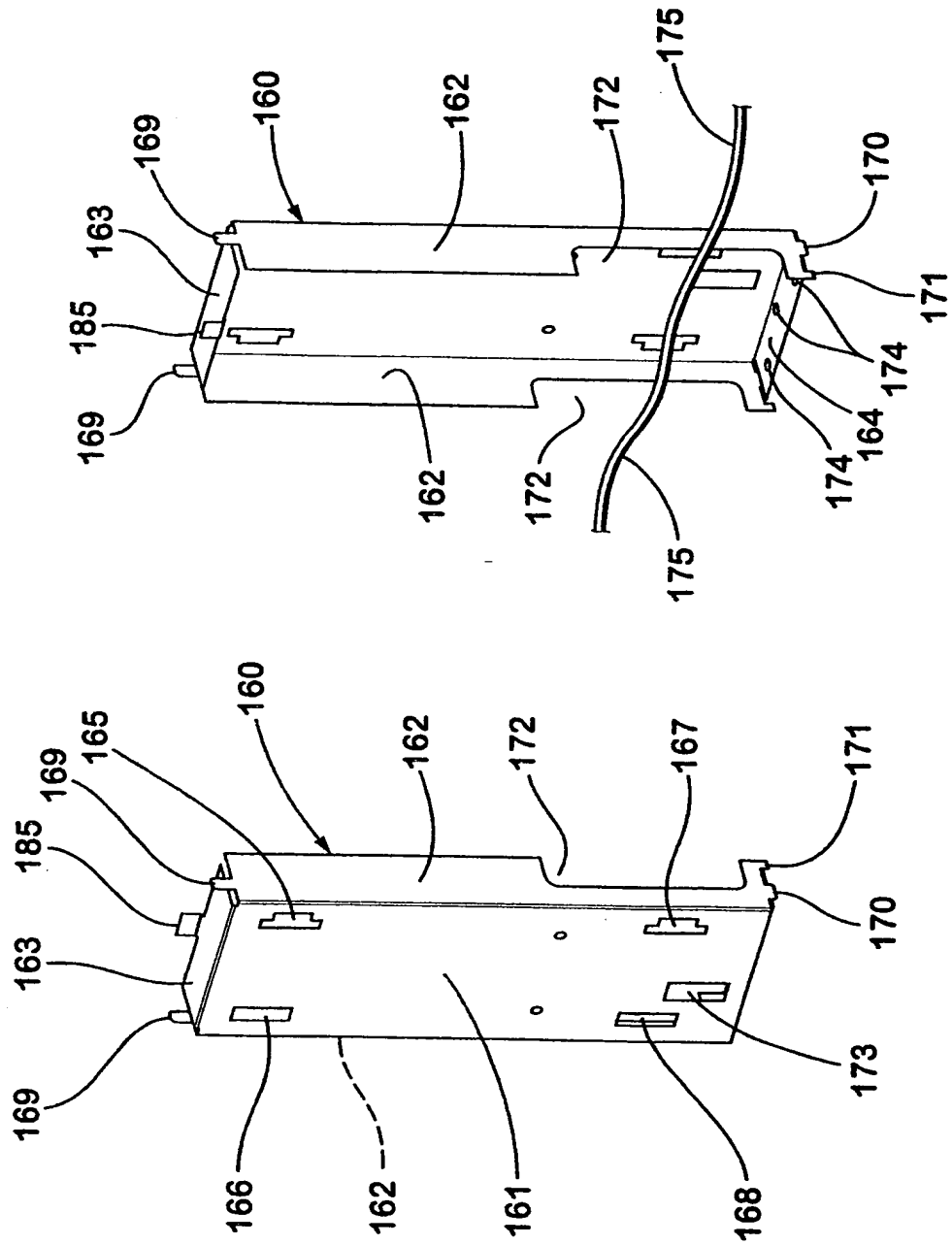


Fig. 22

Fig. 23

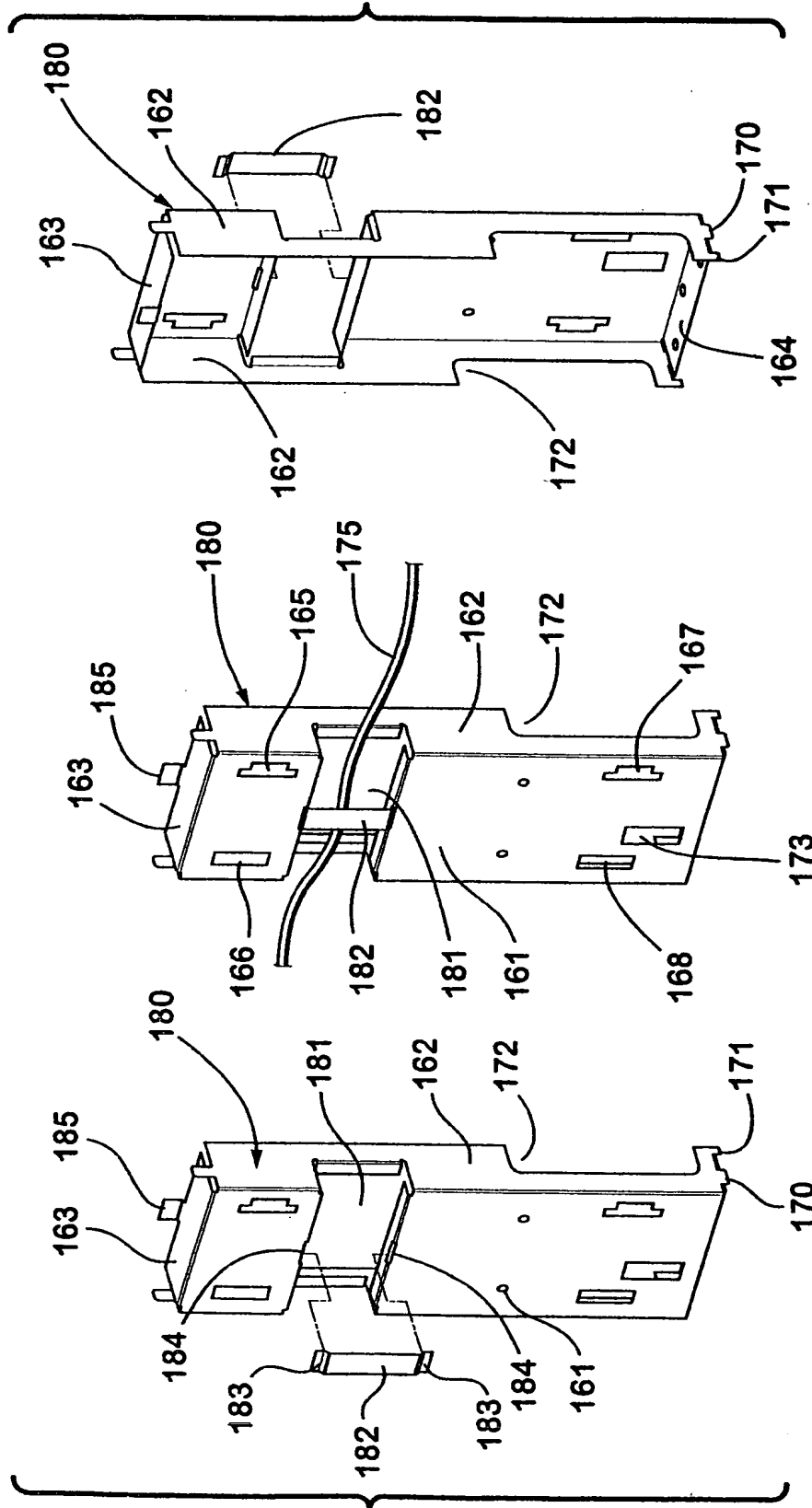


Fig. 26

Fig. 25

Fig. 24

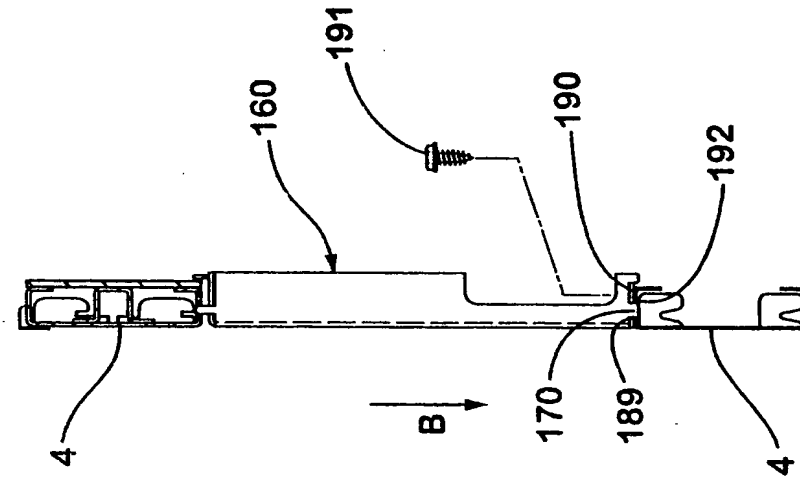


Fig. 27

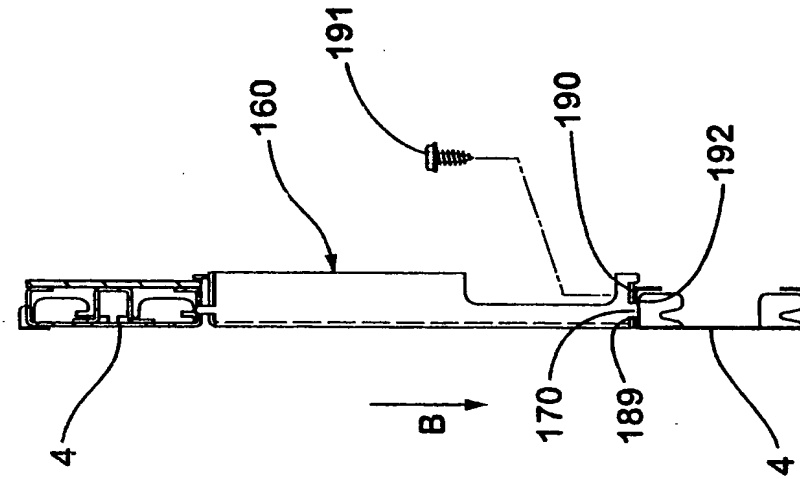


Fig. 28